






Ing. Pavel HRŮZA
BETON-DIAGNOSTIK
Věkošská 411/22b
503 41 HRADEC KRÁLOVÉ
IČO: 135 64 650

ODP. PROJEKTANT	PROJEKTANT	VYPRACOVAL	Ing. Pavel Hruza BETON - DIAGNOSTIK	
Ing. P. Hruza 	Ing. P. Hruza 	Ing. P. Hruza		
OBJEDNATEL: DÍK – Dopravně-inženýrská kancelář Hradec Králové				
INVESTOR: SÚS Královéhradeckého kraje a.s.			ČÍS. ZAKÁZKY	
AKCE : STATICKÝ VÝPOČET NOSNÉ KONSTRUKCE MOSTU EV.Č. 308-002 ČERNILOV			SOUBOR	
			DRUH PD	OP
			DATUM	01/2014
			FORMÁT	A4
			MĚŘÍTKO	ČÍS. PŘÍLOHY
PŘÍLOHA :			-	-

REKONSTRUKCE MOSTU EV.Č. 308-002 ČERNOLOV
Statický výpočet mostovky

OBSAH:

1. ZÁKLADNÍ ÚDAJE

1.1. PRŮVODNÍ ZPRÁVA	3
1.2. SCHÉMA KONSTRUKCE	4
1.3. ZATÍŽENÍ	6
1.3.1. Zatížení stálé	
1.3.1.1. Vlastní tíha konstrukce	6
1.3.1.2. Ostatní stálé zatížení	7
1.3.1.3. Zásyp opěr	8
1.3.1.4. Nerovnoměrné sedání podpěr	8
1.3.1.5. Smršťování a dotvarování betonu	8
1.3.2. Zatížení nahodilé	
1.3.2.1. Svislé pohyblivé zatížení	8
1.3.2.1.1 Model zatížení LM1	8
1.3.2.1.3 Model zatížení 2 (LM2)	9
1.3.2.1.4 Model zatížení 4 (zatížení davem lidí)	10
1.3.2.1.5 Vodorovné síly od pohyblivého zatížení	10
1.3.2.1.6 Model zatížení na únavu	10
1.3.3. Ostatní nahodilá zatížení	
1.3.3.1. Zatížení větrem	10
1.3.3.2. Zatížení teplotou	11
1.3.4. Nejúčinnější poloha pohyblivého zatížení	11
1.4. MATERIÁLY	
1.4.1. Betonářská výztuž	12
1.4.2. Železový beton	12

2. Statický návrh nosné konstrukce

2.1. NÁVRH DESKOVÉ KONSTRUKCE	13
2.1.1. Návrh a posouzení	13
2.1.1.1. Výpočetní model	
2.1.1.1.1. <i>Schéma a popis modelu</i>	13
2.1.1.1.2. <i>Fáze výstavby</i>	13
2.1.1.1.3. <i>Výpočet průřezových charakteristik</i>	13
2.1.1.2. Zatěžovací stavy	
2.1.1.2.1. <i>Poznámky k zatěžovacím stavům</i>	14
2.1.1.2.2. <i>Přehled zatěžovacích stavů</i>	14
2.1.1.2.3. <i>Kombinace zatížení</i>	14
2.1.1.3. Vnitřní síly na konstrukci (momenty)	15
2.1.1.4. Kombinace a posudky	18
3. ZÁVĚR	20
4. SCHÉMATA VÝZTUŽE	30

1. ZÁKLADNÍ ÚDAJE

1.1. PRŮVODNÍ ZPRÁVA

Předmětem statického výpočtu je návrh a posouzení nové nosné konstrukce mostu ev. č. 308-002 Černilov na silnici II/308.

Byl proveden diagnostický průzkum stávající nosné konstrukce a základě jeho závěrů byl proveden výpočet zatížitelnosti stávající nosné konstrukce s těmito výsledky:

Zatížitelnost redukována

koeficient k	0,8	0,7
Vn - normální	14 t	25 t
Vr - výhradní	24 t	43 t
Ve - výjimečná	110 t	199 t
Na jednu nápravu	6,0 t	10,9 t

Po projednání se zástupcem investora (Ing. Horn, SÚS Královéhradeckého kraje a.s.) bylo rozhodnuto, a to především s ohledem na nízké hodnoty zatížitelnosti, nahradit stávající žb desku novou žb deskou s liniovým uložením na stávajících opěrách.

Nový stav mostu: trvalý jednoplošný šikmý most na pozemní komunikaci přes vodní tok. Ze statického hlediska jde o deskovou konstrukci ze železobetonu, uložení je liniové na vrubových kloubech na stávajících opěrách.

Popis stávající konstrukce mostu:

Šikmý silniční jednoplošný deskový most ze železobetonu, tloušťka desky původní části 0,42 m, nové (rozšiřující části) 0,36 m. Opěry masivní betonové, založení plošné.

Délka přemostění: 3,0 m

Rozpětí nosné konstrukce: 3,4 m

Délka nosné konstrukce: 4,6 m

Šikmost mostu: 75°

Šířka mezi zábradlími: 10,1 m

Šířka průjezdního prostoru: 9,8 m

Šířka průchozího prostoru: -

Šířka mostu: 11,05 m

Stavební výška: 0,83 m

Plocha mostu: 46,5 m²

Deskový silniční most ze železobetonu přes Librantický potok byl postaven podle dostupných údajů pravděpodobně někdy v letech 1952 – 1956. Návrh mostu byl proveden podle tehdy platných „Směrnic pro navrhování mostů z roku 1951“, na zatěžovací třídu A (silnice I a II třídy).

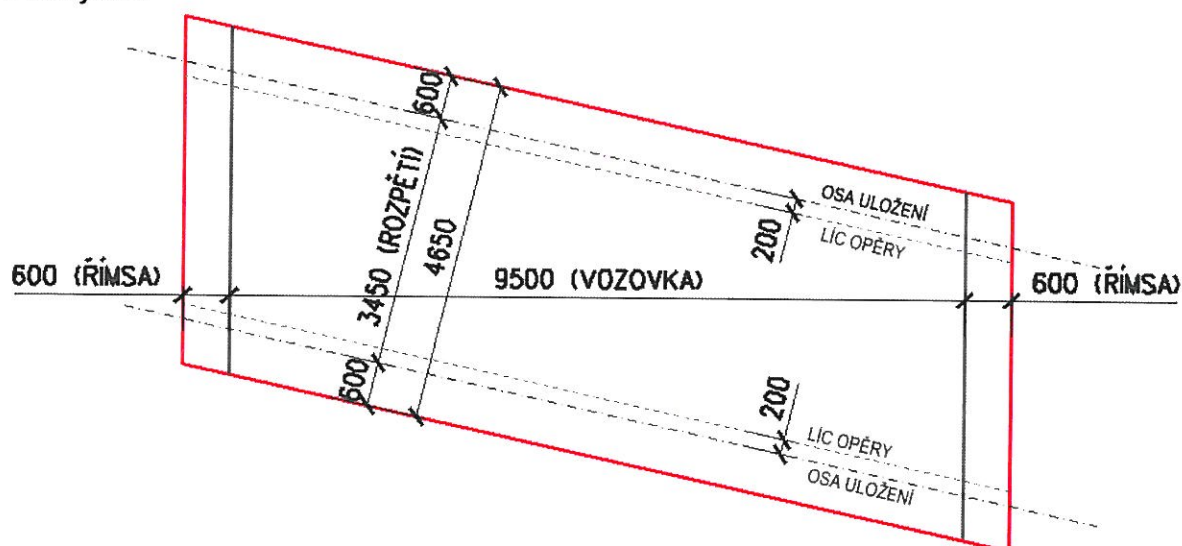
V roce 1982 byl most rozšířen přibetonováním nové části desky a opěr. Návrh této části mostu byl proveden dle tehdy platné normy ČSN 73 6203 „Zatížení mostů“ z roku 1968 včetně změny a) z roku 1976.

Podle diagnostického průzkumu je betonářská výztuž původní nosné konstrukce z oceli 10 372 (B) o D=14 mm a je rozmístěna v podélném směru po cca 130 mm při spodním okraji průřezu, ořeznutí hlavní výztuže cca 3% dle diagnostického průzkumu. Beton původní nosné konstrukce lze podle diagnostického průzkumu uvažovat jako značky 250 (B 20) dle ČSN 73 6206, tomu odpovídá třída betonu C 16/20 dle ČSN EN 206-1.

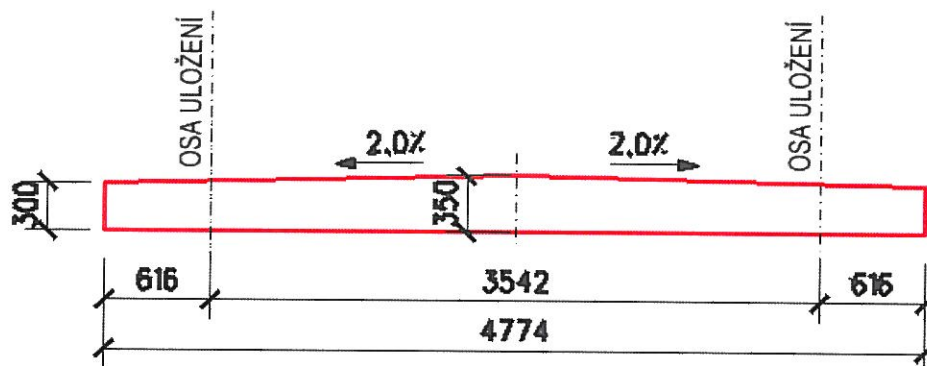
Betonářská výztuž nové části nosné konstrukce je z oceli 10 425 (V) o D=18 mm a je rozmístěna v podélném směru po cca 100 mm při spodním okraji průřezu, ořeznutí hlavní výztuže cca 5-7% dle diagnostického průzkumu. Beton nové části nosné konstrukce lze podle diagnostického průzkumu uvažovat jako značky 250 (B 20) dle ČSN 73 6206, tomu odpovídá třída betonu C 16/20 dle ČSN EN 206-1.

1.2. SCHÉMA NOSNÉ KONSTRUKCE

Púdorys NK



Podélný řez NK (varianta)



Popis nové nosné konstrukce:

Navržena je deska ze železového betonu o tloušťce 350 mm, v podélném směru ve sklonu nivelety vozovky, případně variantně se střešovitým spádem 2% (v případě malého sklonu nivelety vozovky na mostě). Příčný sklon nosné konstrukce bude kopírovat příčný sklon vozovky (zpravidla 2,5%) s protispádem 4% pod římsou na nižším okraji nosné konstrukce dle VL 4 - Mosty, u variantního řešení je možné ponechat nulový příčný sklon (voda je odvedena střešovitým podélným sklonem nosné konstrukce za rub opěr) a pod římsami provést zvýšení tloušťky desky tak, aby voda nemohla zatékat pod římsy a dále na boční líce desky. Izolace nosné konstrukce bude celoplošně natavená na betonový podklad a pod římsami bude zdvojena dle VL 4 - Mosty. Rovněž tvar a výztuž říms se provede dle těchto vzorových listů. Uložení nosné konstrukce se provede na vrubové klouby šířky 200 mm a výšky min. 20 mm, svislá výztuž vrubového kloubu bude vyčnívat do desky z nově vybudovaných železobetonových úložných prahů přikotvených ke stávajícím dírkům opěr.

Hodnoty zatížitelnosti mostu navrženého pro zatížení dle platných ČSN EN (Eurocodů) jsou následující:

Normální zatížitelnost V_n nejméně 32 t.

Výhradní zatížitelnost V_r nejméně 80 t.

Výjimečná zatížitelnost V_e nejméně 196 t.

Ve statickém výpočtu jsou uvedeny rozhodující vstupy a výstupy včetně posouzení a návrhu betonářské výztuže. V příloze statického výpočtu jsou tabulky vnitřních sil na nosné konstrukci.

Použité materiály:

Beton nosné konstrukce:	C 30/37-XF2, XD1
Římsy:	C 30/37-XF4, XD3
Betonářská výztuž:	B500B

Výpočet v podélném a příčném směru:

- je vytvořen prostorový model deskové nosné konstrukce v programu Scia Engineer 2008.1
- uložení desky je liniové (vrubové klouby na úložných prazích na opěrách)
- vnitřní síly jsou brány z tohoto prostorového 3D modelu
- pro návrh výztuže jsou v modelu vytvořena fiktivní žebra, do kterých se integrují vnitřní síly.
- průřezy jsou posouzeny jako železobetonové dle platných norem (Eurocodů)
- pro posouzení stávající spodní stavby nejsou známy potřebné údaje
- pro posouzení založení mostu nejsou známy potřebné údaje

Použitá literatura:

- [1] ČSN 73 62 00 Mosty - terminologie a třídění
- [2] ČSN 73 6201 Projektování mostních objektů
- [3] ČSN EN 1991-1-1 Eurokód 1: Zatížení konstrukcí - Část 1-1: Obecná zatížení - Objemové tíhy, vlastní tíha a užitná zatížení pozemních staveb
- [4] ČSN EN 1991-2 Eurokód 1: Zatížení konstrukcí - Část 2: Zatížení mostů dopravou
- [5] ČSN EN 1991-1-4 Eurokód 1: Zatížení konstrukcí - Část 1-4 - Obecná zatížení - Zatížení větrem
- [6] ČSN EN 1991-1-5 Eurokód 1: Zatížení konstrukcí - Část 1-5 Obecná zatížení - Zatížení teplotou
- [7] ČSN EN 1992-2 Eurokód 2: Navrhování betonových konstrukcí - Část 2: Betonové mosty - Navrhování a konstrukční zásady
- [8] ČSN EN 206-1 Beton - Část1: Specifikace, vlastnosti, výroba a shoda
- [9] ČSN EN 1997-1 Eurokód 7: Navrhování geotechnických konstrukcí - Část1 Obecná pravidla
- [10] ČSN EN 1536 Provádění speciálních geotechnických prací - Vrtané piloty
- [11] Ing. J. Procházka, CSc, Ing. K. Trtík, CSc., Ing. J. Vodička:
Betonové konstrukce. Příklady 1.část. Technologie betonu, dimenzování podle mezních stavů stavů únosnosti., ČVUT 1989

Použité programy:

- [A] Scia Engineer 2008.1 - výpočet rovinných i prostorových konstrukcí metodou konečných prvků
NEMETSCHEK Scia
- [B] MicroStation 2004
- [C] EXCEL - tabulkový editor (Microsoft)

1.3. ZATÍŽENÍ

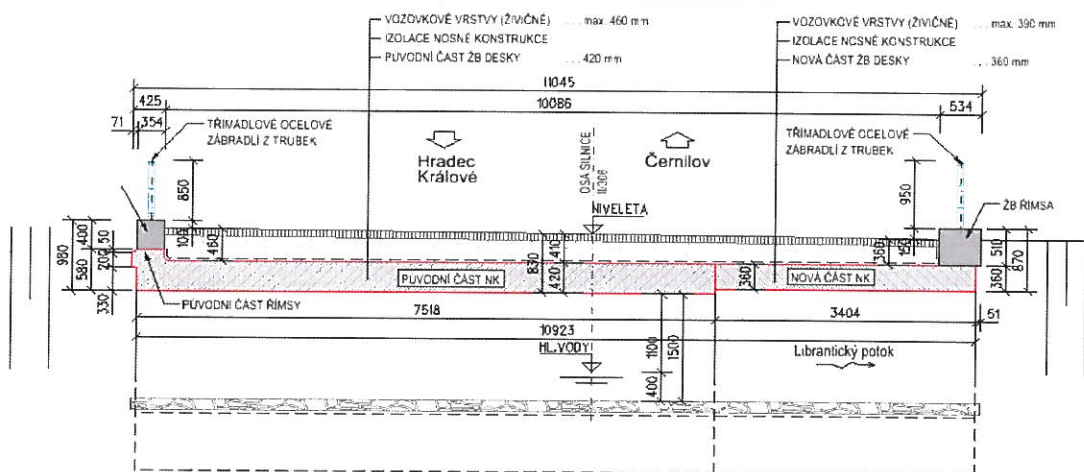
1.3.1. Zatížení stálé

1.3.1.1. Vlastní tíha konstrukce (g_0)

$$\gamma_{PR} = 25,0 \text{ kN/m}^3$$

$$\text{Plocha příčného řezu: } 2,625 \text{ m}^2$$

$$\gamma_{ZB30} = 24,0 + 1 = 25,0 \text{ kN/m}^3$$



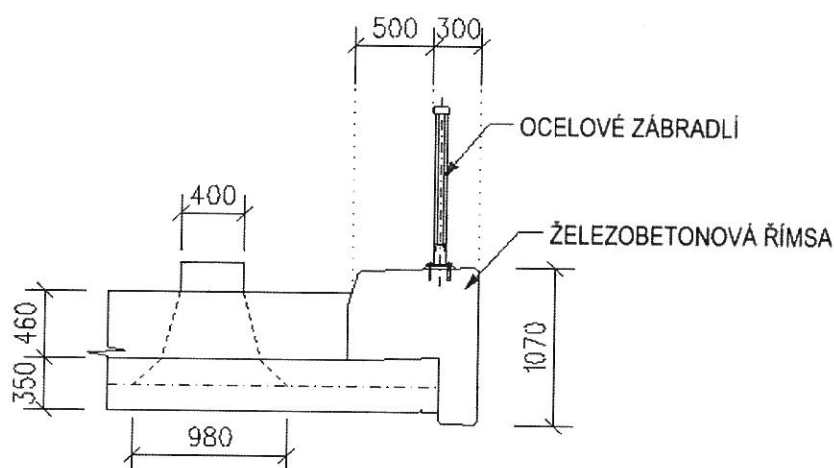
Vlastní váha konstrukce je zadána do výpočetního modelu funkcí vlastní tíha.

1.3.1.2. Ostatní stálé zatížení (g-g₀)

Vozovka

0,040	x	24,0	=	0,960	kN/m ²
0,035	x	24,0	=	0,840	kN/m ²
0,380	x	22,0	=	8,360	kN/m ²
0,005	x	14,0	=	0,070	kN/m ²
0,460	mm		celkem:	10,230	kN/m ²

Vozovka se navýší o 20% na: 12,276 kN/m²



Plocha římsy 0,604 m²

Římsa	0,604	x	25,0	=	15,100	kN/m
Zábradlí					0,700	kN/m
Vozovka	3,50	x	7,165	=	25,078	kN/m
			celkem:		40,878	kN/m

V modelu jsou římsy namodelovány 2D makrami. Římsy jsou rozděleny na dvě desky, které nahrazují část položenou přímo na konstrukci a svislou část římsy.

	Vodorovná část	Svislá část	
Římsa	0,340	0,264	m ²

	Vodorovná část	Svislá část	
Levá římsa	15,45	6,60	kN/m ² / kN/m

1.3.1.3. Zásyp opěr (v modelu není uvažováno, je to straně bezpečné)

objemová hmotnost záspy: 18,000 kN/m³
 $\phi = 35,000^\circ$
výška stěny= 3,380 m
šířka stěny= 1,000 m
 $K_{0a} = 0,271$
 $K_{0k} = 0,426$
Aktivní tlak = 16,487 kN/m
Klidový tlak = 25,944 kN/m

1.3.1.4. Nerovnoměrné sedání podpěr

Vzhledem k typu konstrukce nerovnoměrné sedání nemá vliv na statiku.

1.3.1.5. Smršťování a dotvarování betonu

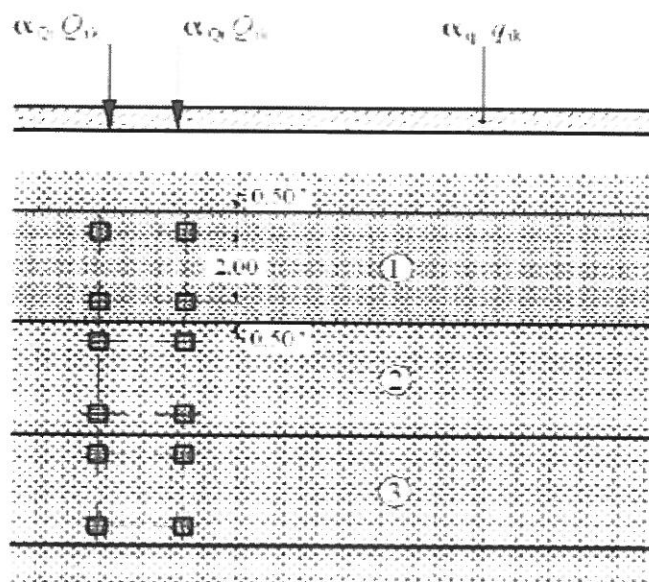
Výpočet časových změn betonu nemá vliv statiku konstrukce

1.3.2. Zatížení nahodilé

1.3.2.1. Svislé pohyblivé zatížení

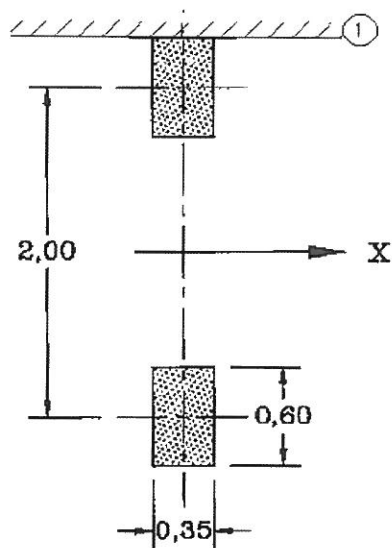
1.3.2.1.1 Model zatížení LM1

Umístění	Dvojnáprava (TS)			Rovnoměrné zatížení		
	Q_{ik}	α_{Qi}	$\alpha_{Qi} \times Q_{ik}$	$q_{ik}(g_{rk})$	α_{qi}	$\alpha_{qi} \times q_{ik}(g_{rk})$
	[kN]		[kN]	[kN/m ²]		[kN/m ²]
Pruh č. 1	300	0,8	240	9	0,8	7,2
Pruh č. 2	200	0,8	160	2,5	1	2,5
Zbývající pruhy				2,5	1	2,5



1.3.2.1.2 Model zatížení 2 (LM2)

$Q_{ak} =$	400	kN
$\beta_Q = \alpha_{Qi} =$	0,8	
$\beta_Q \times \alpha_{Qi} =$	320	kN



1.3.3.2. Zatížení teplotou

Typ konstrukce: 3. Typ ▼

$T_{\max} = 40 \text{ } ^\circ\text{C}$
 $T_{\min} = -34 \text{ } ^\circ\text{C}$
 $t_{\text{ref}} = 10 \text{ } ^\circ\text{C}$

$T_{e,\max} = 41,5 \text{ } ^\circ\text{C}$
 $T_{e,\min} = -26,0 \text{ } ^\circ\text{C}$

Poznámka: teplota musí být v rozmezí $\pm 50^\circ\text{C}$

$\Delta T_{N,\text{exp}} = 31,5 \text{ } ^\circ\text{C}$
 $\Delta T_{N,\text{con}} = -36,0 \text{ } ^\circ\text{C}$

součinitel vlivu kolej.lože a izolace :

redukována char. hodnota :

odpovídající poměrné přetvoření :

$\Delta T_{M,\text{pos},k} = 15,00 \text{ } ^\circ\text{C}$

$k_{\text{sur}} = 1,00$ 1991-1-5, tab 6.2

$k_{\text{sur}} \cdot \Delta T_{M,\text{pos},k} = 15,00 \text{ } ^\circ\text{C}$

$\varepsilon = 1,800\text{E-}04$

Přepočet na natočení :

	P1		
h [mm]	0,35		
ϕ [mrad/m]	5,14E+02		

součinitel vlivu kolej.lože a izolace :

redukována char. hodnota :

odpovídající poměrné přetvoření :

$\Delta T_{M,\text{neg},k} = 8,00 \text{ } ^\circ\text{C}$

$k_{\text{sur}} = 1,00$ 1991-1-5, tab 6.2

$k_{\text{sur}} \cdot \Delta T_{M,\text{neg},k} = 8,00 \text{ } ^\circ\text{C}$

$\varepsilon = 9,600\text{E-}05$

Přepočet na natočení :

	P1		
h [mm]	0,8		
ϕ [mrad/m]	1,20E+02		

Teplota zadána přímo ve výpočetním programu

1.3.4. Nejúčinnější poloha pohyblivého zatížení

Nejúčinnější poloha zatížení byla hledána pomocí příčinkových čar.

1.4. MATERIÁLY

1.4.1. Betonářská výztuž

ocel betonářské výztuže B500 B :

souč. spolehlivosti (zákl. komb.)	$\gamma_{M,0,s}$	=	1,15	Mpa
souč. spolehlivosti (mimoř. komb.)	$\gamma_{M,0,s}$	=	1,00	Mpa
mez kluzu charakteristická	$f_{y,s,k}$	=	500,00	Mpa
mez kluzu návrhová pro základní komb. zat.	$f_{y,s,d}$	=	434,78	Mpa
mez kluzu návrhová pro mimoř. komb. zat.	$f_{y,s,d}$	=	500,00	Mpa
modul pružnosti	E_s	=	210000	Mpa

souč. spolehlivosti (zákl. komb.)	$\gamma_{M,0,s}$	=	1,15	Mpa
souč. spolehlivosti (mimoř. komb.)	$\gamma_{M,0,s}$	=	1,00	Mpa
mez kluzu charakteristická	$f_{y,s,k}$	=	500,00	Mpa
mez kluzu návrhová pro základní komb. zat.	$f_{y,s,d}$	=	434,78	Mpa
mez kluzu návrhová pro mimoř. komb. zat.	$f_{y,s,d}$	=	500,00	Mpa
modul pružnosti	E_s	=	210000	Mpa

1.4.2. Železový beton

Beton spodní stavby

	C 30/37		
souč. spolehlivosti (zákl. komb.)	$\gamma_{M,0,c}$	=	1,50 Mpa
souč. spolehlivosti (mimoř. komb.)	$\gamma_{M,0,c}$	=	1,20 Mpa
pevnost v tlaku charakteristická	$f_{c,k}$	=	30,00 Mpa
redukční součinitel pevnosti betonu v tlaku	α_{cc}	=	0,85
pevnost v tlaku návrhová pro zákl.komb.zat.	$f_{c,d}$	=	17,00 Mpa
pevnost v tlaku návrhová pro mimořádnou komb.zat.	$f_{c,d}$	=	21,25 Mpa
pevnost v tlaku návrhová pro mimoř.komb.zat.	f_{ctm}	=	2,90 Mpa
pevnost v tahu - střední hodnota	$f_{ctk}^{0,05}$	=	2,00 Mpa
	$f_{ctk}^{0,95}$	=	3,80 Mpa
modul pružnosti	E_c	=	33000 Mpa

Beton nosné konstrukce

	C 30/37		
souč. spolehlivosti (zákl. komb.)	$\gamma_{M,0,c}$	=	1,50 Mpa
souč. spolehlivosti (mimoř. komb.)	$\gamma_{M,0,c}$	=	1,30 Mpa
pevnost v tlaku charakteristická	$f_{c,k}$	=	30,00 Mpa
redukční součinitel pevnosti betonu v tlaku	α_{cc}	=	0,85
pevnost v tlaku návrhová pro zákl.komb.zat.	$f_{c,d}$	=	17,00 Mpa
pevnost v tlaku návrhová pro mimořádnou komb.zat.	$f_{c,d}$	=	19,62 Mpa
pevnost v tlaku návrhová pro mimoř.komb.zat.	f_{ctm}	=	2,90 Mpa
pevnost v tahu - střední hodnota	$f_{ctk}^{0,05}$	=	2,00 Mpa
	$f_{ctk}^{0,95}$	=	3,80 Mpa
modul pružnosti	E_c	=	33000 Mpa

2. Statický návrh nosné konstrukce

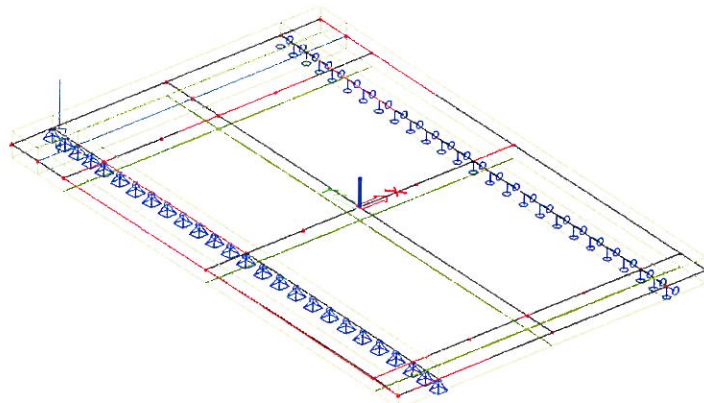
2.1. NÁVRH DESKOVÉ KONSTRUKCE

2.1.1. Návrh a posouzení

2.1.1.1. Výpočetní model

2.1.1.1.1. Schéma a popis modelu

Výpočet vnitřních sil byl proveden na prutovém modelu metodou konečných prvků. Modelována byla celá konstrukce, do které byly namodelována fiktivní žebra pro zjištění vnitřních sil. Integrační šířka pro vypsání vnitřních sil je 1 m.



2.1.1.1.2. Fáze výstavby

Předpokládá se využití stávající spodní stavy, na které se zhotoví nový úložný práh. Deska bude uložena do ozubu. Deska se bude betonovat v jednom betonážním taktu.

2.1.1.1.3. Výpočet průřezových charakteristik

Jedná se o desku, výztuž se bude posuzovat na obdelníkovém průřezu. Minimální výška průřezu je 325 mm.

2.1.1.2. Zatěžovací stavy

2.1.1.2.1. Poznámky k zatěžovacím stavům

Zatížení vlastní tíhou je zadáno pomocí funkce vlastní tíha, ostatní stálá zatížení jsou zadána liniovým zatížením.

Svislé pohyblivé zatížení je zadáno pomocí příčinkových čar a pomocí pojezdu sestavou zatížení LM1 a LM2. Odhlehčení se vzhledem ke statickému působení neuvažuje.

2.1.1.2.2. Přehled zatěžovacích stavů

1. Vlastní tíha konstrukce - zadáno funkcí vlastní tíha
3. G-go - zadáno jako liniové zatížení
5. Teplotní změny - zadáno spojitě natočení průřezu tvořících nosnou konstrukci
Modelovalo se ochlazení a oteplení spodních i horních vláken a celkové ochlazení a oteplení mostu.
7. Podélné síly
8. Příčné síly
9. Nahodilé zatížení - pro každou zatěžovací sestavu (LM1, LM2) jsou vytvořeny zatěžovací stavy, které vystihují maximální hodnotu M_y , V_z a M_x v každém průřezu desky.

2.1.1.2.3. Kombinace zatížení

Kombinace pro mezní stav únosnosti:

a) Kombinace pro trvalé a dočasné návrhové situace a pro mezní stavy únosnosti kromě těch, které se vztahují k únavě:

$$\Sigma \gamma_{Gj} G_{kj} "+" \gamma_P P_k "+" \gamma_{Q1} Q_{k1} "+" \Sigma \gamma_{Qi} \psi_{0i} Q_{ki} \quad (\text{vztah 9.10})$$

Toto kombinační pravidlo je sloučením dvou oddělených kombinací zatížení:

$$\Sigma \gamma_{Gj} G_{kj} "+" \gamma_P P_k "+" \gamma_{Q1} \psi_{01} Q_{k1} "+" \Sigma \gamma_{Qi} \psi_{0i} Q_{ki} \quad (\text{vztah 9.10a})$$

$$\Sigma \xi_j \gamma_{Gj} G_{kj} "+" \gamma_P P_k "+" \gamma_{Q1} Q_{k1} "+" \Sigma \gamma_{Qi} \psi_{0i} Q_{ki} \quad (\text{vztah 9.10b})$$

Místo vztahu 9.10 se použije vztah 9.10a nebo 9.10b podle toho, který z nich poskytuje méně příznivé výsledky.

b) Kombinace pro mimořádné návrhové situace:

$$\Sigma \gamma_{GAj} G_{kj} "+" \gamma_{PA} P_k "+" A_d "+" \psi_{11} Q_{k1} "+" \Sigma \psi_{2i} Q_{ki}$$

Kombinace pro mezní stav použitelnosti

a) Charakteristická (výjimečná) kombinace:

$$\Sigma G_{kj} "+" P_k "+" Q_{k1} "+" \Sigma \psi_{0i} Q_{ki}$$

b) Častá kombinace:

$$\Sigma G_{kj} "+" P_k "+" \psi_{11} Q_{k1} "+" \Sigma \psi_{2i} Q_{ki}$$

c) Kvazistálá kombinace:

$$\Sigma G_{kj} "+" P_k "+" \Sigma \psi_{2i} Q_{ki}$$

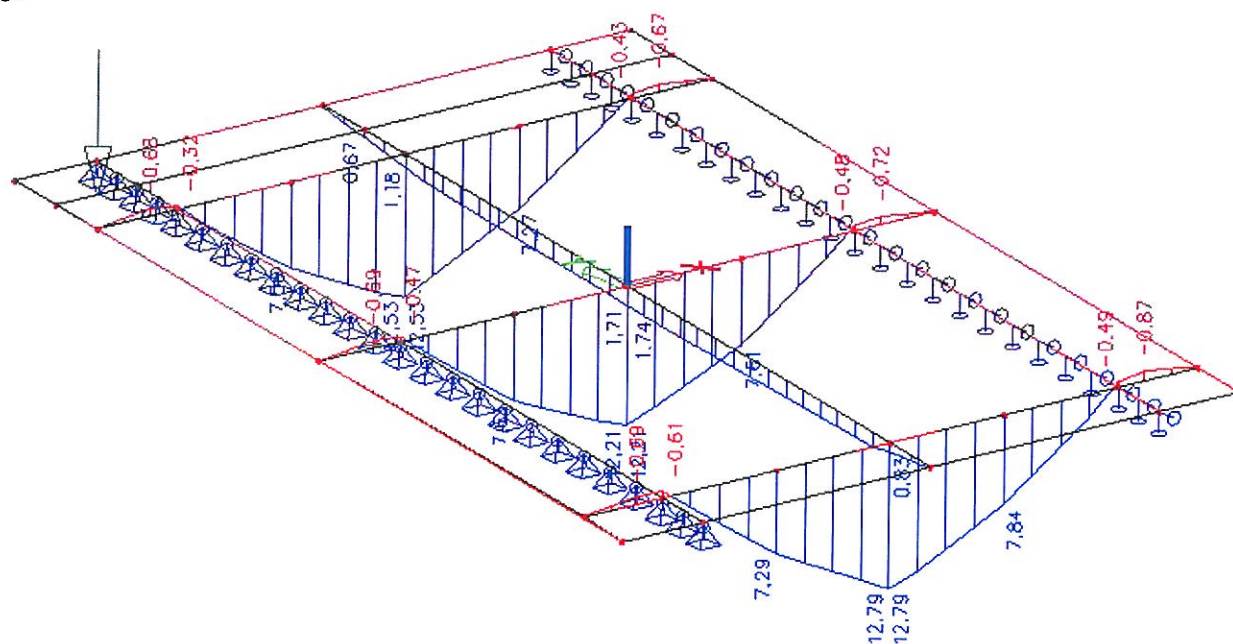
d) Občasná kombinace:

$$\Sigma G_{kj} "+" P_k "+" \psi_1 Q_{k1} "+" \Sigma \psi_{1i} Q_{ki}$$

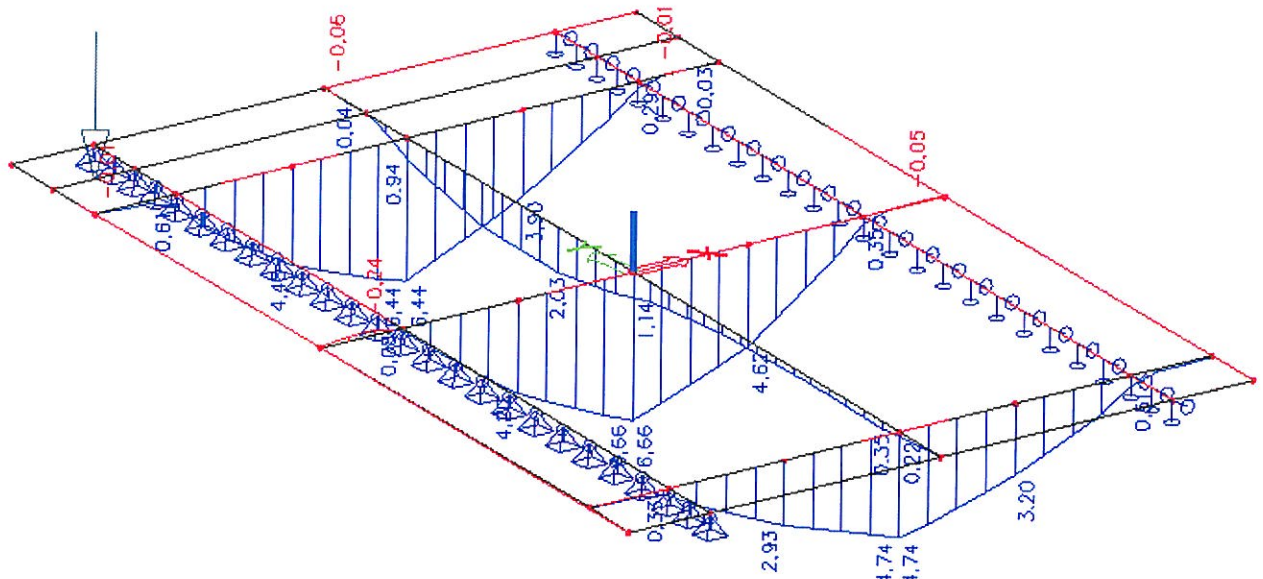
Poznámka: Kombinace budou vytvořeny v programu Nerix. V tomto programu budou i posouzeny železobetonové průřezy.

2.1.1.3. Vnitřní síly na konstrukci (momenty)

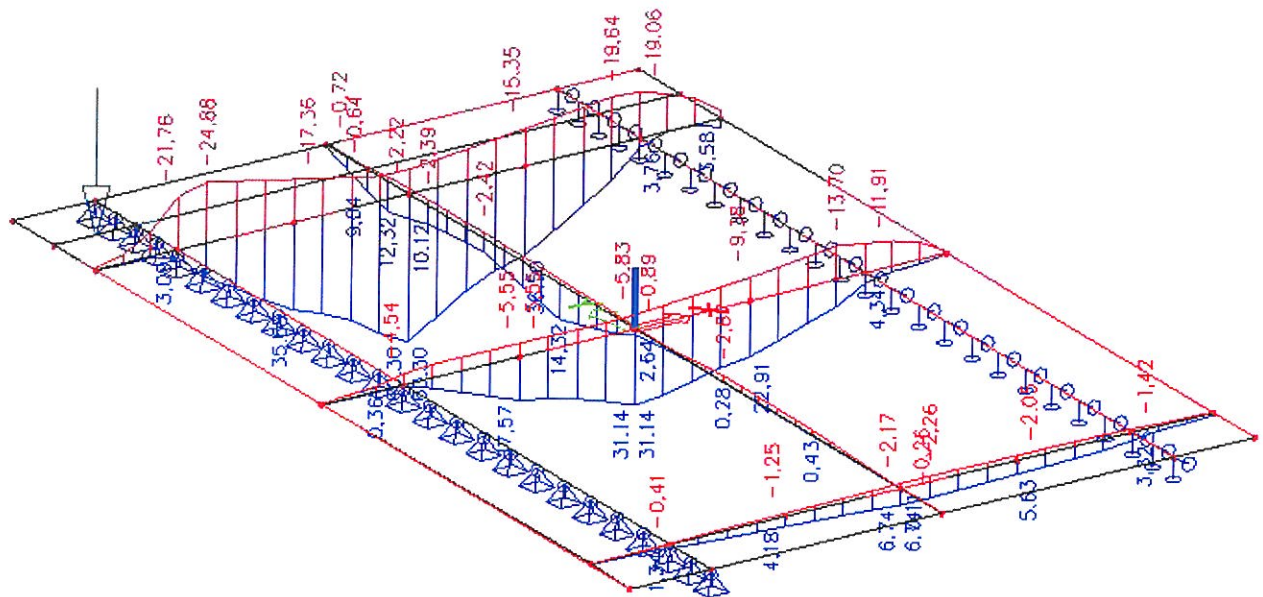
go



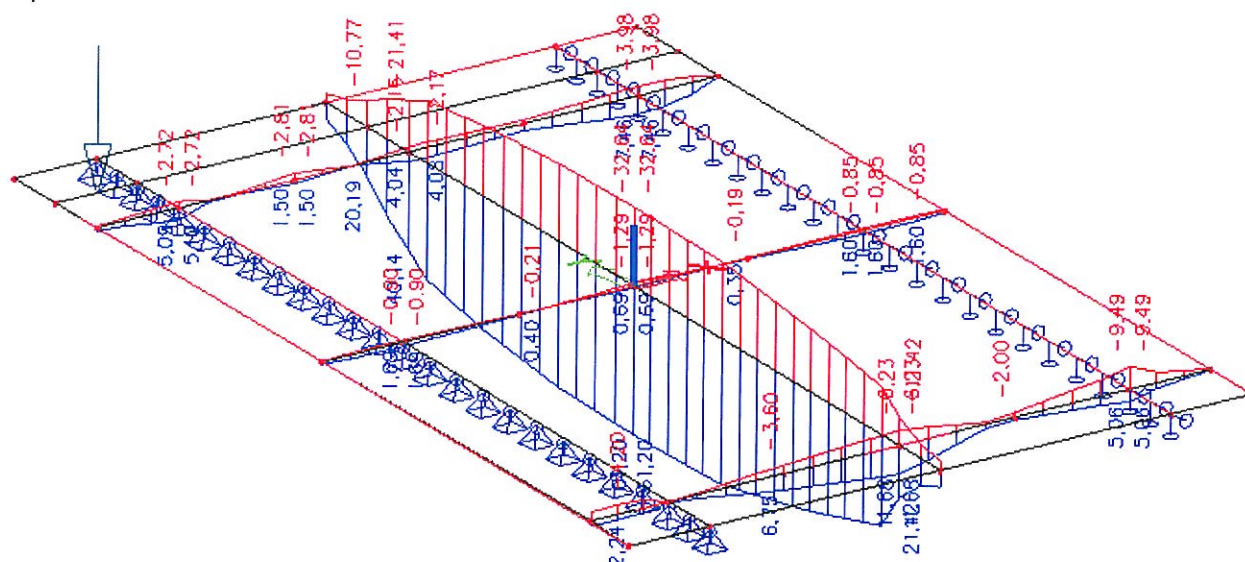
LM1_UDL



LM2

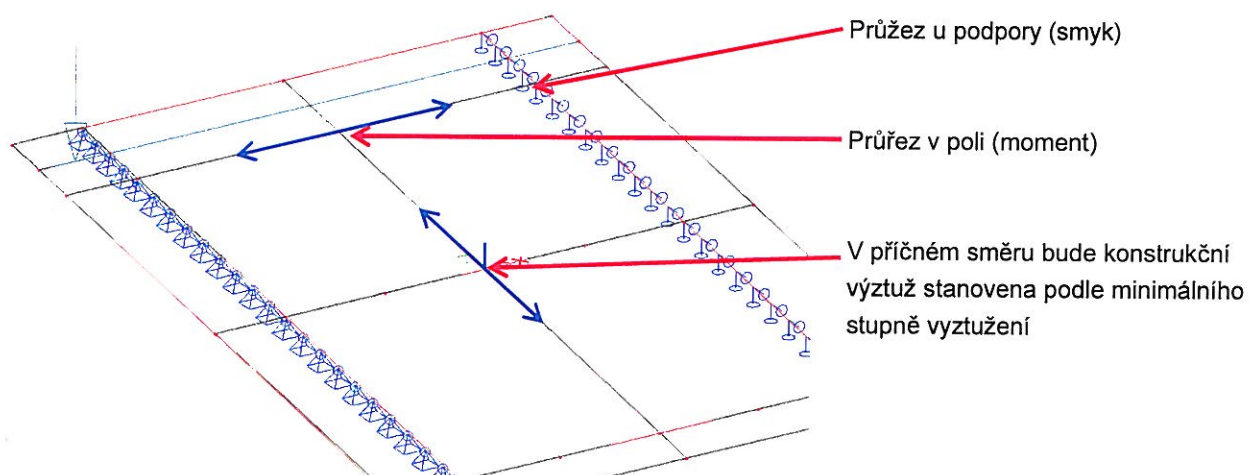


Teplota



2.1.1.4. Kombinace a posudky

Posuzované průřezy



Vygenerované dílčí kombinace

Jméno projektu | Pos. část: PODROBNÝ | DATA

Složka (adresář): E:\PRACE\2013\CERNILOVSI\..._VYP\PODROBNY\DATA\Other\

Report: Komb02

Vstupní soubory (zatižení)		Typ zatiž.	Jméno generované d. kombinace		γ*		Jméno generované d. kombinace		γ*		domin.	
id	do kombinace		6.10	6.10a	6.10b	Ψ0	Ψ1	Ψ2	α	Φ	ξ	add
1	GO.TXT	stl	1.35	1.35	1.35	0.00	0.00	0.00	1.00	1.00	0.85	
9	G_GO_VOZ.TXT	stl	1.35	1.35	1.35	0.00	0.00	0.00	1.00	1.00	0.85	
33	TEPLOTA_NER.TXT	ndn	1.50		0.60	0.60	0.50	1.00	1.00	1.00	0.85	
121	Sestava gr1a	dsz	1.35		0.75	0.75	0.00	1.00	1.00	1.00	0.85	0.00
122	Sestava gr1b	dsz	1.35		0.00	0.75	0.00	1.00	1.00	1.00	0.85	1.00
1	GO.TXT	stl	1.00	1.00	1.00	0.00	0.00	0.00	1.00	1.00	0.85	
9	G_GO_VOZ.TXT	stl	1.00	1.00	1.00	0.00	0.00	0.00	1.00	1.00	0.85	
33	TEPLOTA_NER.TXT	ndn	1.50		0.60	0.60	0.50	1.00	1.00	1.00	0.85	
121	Sestava gr1a	dsz	1.35		0.75	0.75	0.00	1.00	1.00	1.00	0.85	0.00
122	Sestava gr1b	dsz	1.35		0.00	0.75	0.00	1.00	1.00	1.00	0.85	1.00

* - pro kombinace začínající číslem <50 je v těchto 3 sl. hodnota "přítěžující"; pro kombinace začínající číslem 50 je v těchto sloupcích hodnota "odlehčující" (je-li >0) pro Typ zat. = 'stl'

Poznámky:

1. Zobrazené kombin. součinitelé (alfa a fi) nemusí být pro Sestavy uvažovány v případě, že jsou již zahrnuty v Sestavách. Viz nápověda, heslo: Sestavy-vypočet (lýká se železnice)
2. add - určuje, zda Sestava bude / nebude započtena do kombinace
3. domin - určuje, zda zatižení je dominantní (hlavní)
4. podrobnost ke Gama, resp. Psi - Viz: Nápověda, heslo: Gama, resp. Psi

Vybrané Kombinace (EC) - Síly

Projekt: PODR NY

Posuz. část - Jméno: DATA

Report: Sst001

Sest/Dílč.komb	Σ dx prut	MAX: Nz	Vy	Vz	Mx	My	Mz	MIN: Nz	Vy	Vz	Mx	My	Mz	Report: Sst001
01-6.10	0.606	111.731	28.863	46.864	-3.623	1.377	32.396	-59.574	-15.390	-30.284	-33.611	-33.308	-17.271	
		111.637	28.863	46.864	-3.623	1.368	32.396	-59.417	-15.390	49.690	-13.244	-5.662	-17.258	
		-59.417	-15.390	75.542	-19.481	1.696	-17.258	111.589	28.863	-33.110	-23.990	-26.265	32.382	
1		111.575	28.863	6.837	2.997	3.935	32.382	-59.458	-15.390	-26.248	-34.668	-33.809	-17.271	
		111.683	28.863	68.680	-8.803	9.249	32.396	-59.539	-15.390	-26.248	-34.668	-33.823	-17.271	
		111.637	28.863	46.864	-3.623	1.368	32.396	-59.458	-15.390	47.503	-25.056	-11.548	-17.271	
01-6.10	2.318	33.971	-53.127	1.494	10.621	155.332	-19.638	-17.931	28.332	4.520	5.446	21.012	10.476	
		-17.897	28.332	-8.771	7.340	45.091	10.476	33.746	-53.127	0.725	1.346	50.671	-19.638	
		33.779	-53.127	57.620	4.879	90.420	-19.638	-17.775	28.332	-68.630	0.982	92.341	10.490	
3		-17.789	28.332	-1.602	26.929	125.834	10.476	33.846	-53.127	-58.967	-6.354	85.898	-19.625	
		33.971	-53.127	1.494	10.621	155.332	-19.638	-17.931	28.332	4.520	5.446	21.012	10.476	
		-17.775	28.332	-68.630	0.982	92.341	10.490	33.746	-53.127	0.725	1.346	50.671	-19.638	
04-6.14	0.606	74.496	19.242	34.850	-3.148	0.680	21.598	-39.714	-10.260	-19.516	-25.432	-24.872	-11.514	
		74.430	19.242	34.850	-3.148	0.674	21.598	-39.606	-10.260	36.734	-9.562	-4.012	-11.504	
		-39.606	-10.260	55.884	-14.182	1.438	-11.504	74.400	19.242	-21.400	-19.018	-20.176	21.588	
1		74.390	19.242	8.190	0.972	2.194	21.588	-39.636	-10.260	-19.516	-25.432	-24.862	-11.514	
		74.466	19.242	54.000	-7.768	6.130	21.598	-39.696	-10.260	-19.516	-25.432	-24.872	-11.514	
		74.430	19.242	34.850	-3.148	0.674	21.598	-39.636	-10.260	35.114	-18.312	-8.372	-11.514	
04-6.14	2.318	22.668	-35.418	0.648	8.156	114.790	-13.092	-11.936	18.888	3.468	4.872	24.614	6.984	
		-11.926	18.888	-6.252	5.282	33.544	6.984	22.502	-35.418	0.078	1.286	37.264	-13.092	
		22.542	-35.418	42.098	4.896	75.614	-13.092	-11.836	18.888	-50.592	0.572	68.544	6.994	
3		-11.846	18.888	-0.942	19.792	93.354	6.984	22.592	-35.418	-44.262	-3.424	72.264	-13.082	
		22.668	-35.418	0.648	8.156	114.790	-13.092	-11.936	18.888	3.468	4.872	24.614	6.984	
		-11.836	18.888	-50.592	0.572	68.544	6.994	22.502	-35.418	0.078	1.286	37.264	-13.092	
06-6.16	0.606	62.035	16.035	10.505	0.465	1.080	17.990	-33.050	-8.550	12.075	-4.880	-2.830	-9.595	
		61.995	16.035	10.505	0.465	1.075	17.990	-33.035	-8.550	12.075	-4.880	-2.830	-9.595	
		-33.035	-8.550	12.075	-4.880	-2.830	-9.595	61.995	16.035	10.505	0.465	1.075	17.990	
1		61.995	16.035	10.505	0.465	1.075	17.990	-33.035	-8.550	12.075	-4.880	-2.830	-9.595	
		62.025	16.035	10.505	0.465	1.080	17.990	-33.035	-8.550	12.075	-4.880	-2.830	-9.595	
		61.995	16.035	10.505	0.465	1.075	17.990	-33.035	-8.550	12.075	-4.880	-2.830	-9.595	
06-6.16	2.318	18.775	-29.515	2.960	1.660	36.375	-10.910	-9.920	15.740	-2.315	4.990	33.270	5.820	
		-9.920	15.740	-2.315	4.990	33.270	5.820	18.770	-29.515	2.960	1.660	36.370	-10.910	
		18.770	-29.515	2.960	1.660	36.370	-10.910	-9.920	15.740	-2.315	4.990	33.270	5.820	
3		-9.920	15.740	-2.315	4.990	33.270	5.820	18.770	-29.515	2.960	1.660	36.370	-10.910	
		18.775	-29.515	2.960	1.660	36.375	-10.910	-9.920	15.740	-2.315	4.990	33.270	5.820	
		-9.920	15.740	-2.315	4.990	33.270	5.820	18.770	-29.515	2.960	1.660	36.370	-10.910	

Hodnoty vytisklé tučnou kurzívou jsou Maxima (v levé části) nebo Minima (v pravé části výpisu)

Podpora (posudek smyku)									
Průřez									
b_{eff}	=	1000 mm	b_w	=	1000 mm	H	=	300 mm	
c_1	=	50 mm	c_2	=	50 mm	$w_{k,max}$	=	0,30 mm	
d	=	225 mm	d_2	=	75 mm	A_c	=	0,300 m ²	
Materiály									
ocel: B 500 B			beton: C30/37			f_{ck}	=	30,0 MPa	
f_{yk}	=	500 MPa	γ_s	=	1,15	α_{cc}	=	0,85	E_{cm} = 33,0 GPa
f_{yd}	=	434,8 MPa	$\varepsilon_{ud}/\varepsilon_{uk}$	=	0,9	γ_c	=	1,5	f_{cd} = 17,0 MPa
E_y	=	200,0 GPa	$k = f_t/f_y$	=	1,08	α_e	=	6,06	$f_{c,1m}$ = 2,9 MPa
ε_{uk}	=	50 [·10 ⁻³]				ε_{c3}	=	-1,75	ε_{cu3} = -3,5 [·10 ⁻³]
Ohybová výztuž									
tažená výztuž		6	Φ 20 mm	1. řada	$z=0,075$	$A_{s1,1}$	=	1885 mm ²	(0,628%)
		0	Φ mm	2. řada	$z=0,150$	$A_{s1,2}$	=	mm ²	(0,000%)
tlačená výztuž		0	Φ mm	3. řada	$z=0,200$	$A_{s1,3}$	=	mm ²	(0,000%)
		6	Φ 16 mm		$z=0,075$	A_{s2}	=	1206 mm ²	(0,402%)
<p>Stupeň vyztužení</p> $A_{s,min} = 0,26 \cdot f_{ctm} / f_{yk} \cdot l_0 \cdot 0,0013 b_t d$ $A_{s,max} = 0,04 A_c$ $A_{s,min} < A_s < A_{s,max}$ 339 < 1885 < 12 000 Vyhovuje									
<p>Rozdělovací výztuž (minimální)</p> 5,0 Φ 10 mm $A_{s,perp} = 377 \text{ mm}^2$ (pro desky)									
Smyková výztuž									
třmínky		3,33333	Φ 12 mm	$A_{w,stirrup} = 377 \text{ mm}^2$	$\alpha_w = 90^\circ$				
		$S_{w,st} = 300 \text{ mm}$		$A_{w,stirrup} = 1257 \text{ mm}^2/\text{m}^2$	$\rho_{w,s} = 0,13\%$				
ohyby		0	Φ mm	$A_{w,bend} = \text{mm}^2$	$\alpha = 45^\circ$				
		$S_{w,b} = 500 \text{ mm}$		$\rho_{w,b} = 0,00\% < \rho_{w,s} = 0,13\%$	Vyhovuje				
$\rho_{w,s,min} = (0,08 \sqrt{f_{ck}}) / f_{yk}$					$\rho_{w,s,max} = 0,5 \nu f_{cd} / [(1 - \cos(\alpha)) f_{ywd}]$				
					$\rho_{w,s,min} < \rho_{w,s} < \rho_{w,s,max}$ 0,09% < 0,13% < 1,00% Vyhovuje				
Vnitřní síly na průřezu									
M_{Ed}	=	2 kNm	N_{Ed}	=	-60 kN	V_{Ed}	=	76,00 kN	(MSÚ)
Započíst excentricitu:			N_e			$e_{MSÚ} = 0,03 \text{ m}$			
$M_{Ek,char}$	=	1 kNm	$N_{Ek,char}$	=	-40 kN	e_{char}	=	-0,04 m	(Charakteristická)
$M_{Ek,kvazi}$	=	3 kNm	$N_{Ek,kvazi}$	=	30 kN	e_{kvazi}	=	0,10 m	(Kvazistálá)
Štíhlostní kritérium									
A	=	1	B	=	1	C	=	1,7	
n	=	0,060	λ_{lim}	=	20	i	=	$\sqrt{0,002 / 0,300}$	
l_0	=	0,5	λ	=	1,5				
					$\lambda_{lim} = 111,652$				
					$\lambda = 17,321$				
					$\lambda = L_0 / i$				
					$L = 3,00 \text{ m}$				
<p>Posouzení $\lambda_{lim} = 111,652 > \lambda = 17,321$ vetknutí-vetknutí Masivní prvek</p>									

Stanovení napjatosti průřezu na MSÚ (M+N+V)					
Přetvoření betonu v tlaku		$\varepsilon_c = -0,028$	$[10^{-3}]$	Úprava polohy N.O.	
excentricita tlačných vláken		$e_{z+} = 0,300$	m	+0,1 mm	-0,1 mm
vzdálenost N.O. od spodních vláken		$e_z = 0,000$	m	+1,0 mm	-1,0 mm
Materiál	Síla [MN]	ε_{max} [10 ⁻³]	e [m]	M [MNm]	Posouzení
Beton	-0,050	0,0	-0,033	0,002	Max.přetvoření betonu vyhovuje
Výztuž (1)	-0,004	0,0	0,072	0,000	Max.přetvoření výztuže vyhovuje
Výztuž (2)	0,000	0,0	-0,003	0,000	Max.přetvoření výztuže vyhovuje
Výztuž (3)	0,000	0,0	-0,053	0,000	Max.přetvoření výztuže vyhovuje
Výztuž tl.	-0,005	0,0	-0,078	0,000	Max.přetvoření výztuže vyhovuje
Silová podmínka rovnováhy		celkem	0,0000	MN	Silová podmínka vyhovuje
Moment únosnosti průřezu		$M_{Rd} =$	0,002	MNm	rameno vnitřních sil $z = 0,203$ m
Interakce ohybového a smykového namáhání					
Materiál	Síla M [MN]	Síla V [MN]	σ_{max} [MPa]	ε_{max} [10 ⁻³]	Posouzení
Beton	-0,050	-	-0,269	0,0	Max.přetvoření betonu vyhovuje
Výztuž (1)	-0,004	0,055	26,8	0,1	Max.přetvoření výztuže vyhovuje
Výztuž (2)	0,000	0,000	0,0	0,0	Max.přetvoření výztuže vyhovuje
Výztuž (3)	0,000	0,000	0,0	0,0	Max.přetvoření výztuže vyhovuje
Výztuž tl.	-0,005	0,035	24,7	0,1	Max.přetvoření výztuže vyhovuje
Posouzení - beton		$f_{cd} = 17,000$	MPa	$> \sigma_{cc} = 0,269$	MPa 2% Vyhovuje
Posouzení - ocel		$f_{std} = 465,929$	MPa	$> \sigma_s = 26,814$	MPa 6% Vyhovuje
Poloha N.O.		Přetvoření průřezu		Napětí v betonu	
Smyková únosnost průřezu - bez smykové výztuže					
$C_{Rd,c} = 0,18$	/	1,5	=	0,12	$C_{Rd,c} = 0,18/\gamma_c$
$k = 1$	+	200	/	225	= 1,943 < 2
$\rho_1 = 1885$	/	(1000 * 225)	=	0,0084	$k = 1 + \sqrt{200/d} \leq 2,0$
$\sigma_{cp} = 0$	/	0,300	=	0	$\sigma_{cp} = N_{Ed}/A_c \leq 0,2 f_{cd}$
$V_{Rd,c} = (0,12 * 1,943 * (0,838 * 30,0) + 0,15 * 0) / 1000 * 225$	= 0,184 MN				
$v_{min} = 0,035 * 2,708 * 5,477$	= 0,519				
$V_{Rd,c,min} = (0,519 + 0,15 * 0) / 1000 * 225$	= 0,114 MN				
Posouzení		$V_{Rd,c} = 0,184$	MN	$> V_{Ed} = 0,076$	MN 41% Vyhovuje

Smyková únosnost průřezu - se smykovou výztuží

Sklon tlakových diagonál $1 < \cot \theta = 1,192 < 2,5$ $\theta = 40,00^\circ$ **Vyhovuje**
 součinitel redukce únosnosti tlak. diag. $v = 0,528$

Dodatečná tahová síla

$$\Delta F_{td} = 1 \cdot 76 \cdot (1,192 - 0,000) \cdot \Delta F_{td} = 0,5 V_{Ed} (\cot(\theta) - \cot(\alpha)) = 0,091 \text{ MN}$$

Únosnost tlakové diagonály

$$V_{Rd,max} = 0,528 \cdot 17,0 \cdot 1000 \cdot 203 \cdot \frac{V_{Rd,max} = \alpha_{cw} b_w z v_1 f_{cd} / (\cot \theta + \tan \theta)}{0,5591 + 1,19175} = 0,095 \text{ MN}$$

Únosnost třmínků

$$V_{Rd,st} = 377 \cdot 434,8 \cdot 0,203 \cdot 1,19175 \cdot \frac{V_{Rd,st} = A_{sw} z f_{ywd} \cot \theta / s}{300} = 0,132 \text{ MN}$$

Únosnost ohybů

$$V_{Rd,b} = 0 \cdot 434,8 \cdot 0,707 \cdot 0,203 \cdot \frac{V_{Rd,b} = A_{sw} z f_{ywd} \cot \theta / s}{2,191754 / 300} = 0,000 \text{ MN}$$

Posouzení $V_{Rd,c} = 0,132 \text{ MN} > V_{Ed} = 0,076 \text{ MN}$ **58% Vyhovuje**

Mezní stav použitelnost - omezení napětí

Přetvoření betonu v tlaku

$$\epsilon_c = -0,007 \cdot 10^{-3}$$

Úprava polohy N.O.

excentricita tlačných vláken

$$e_{z+} = 0,300 \text{ m}$$

$$\begin{matrix} +0,1 \text{ mm} & -0,1 \text{ mm} \end{matrix}$$

vzdálenost N.O. od spodních vláken

$$e_z = 0,000 \text{ m}$$

$$\begin{matrix} +1,0 \text{ mm} & -1,0 \text{ mm} \end{matrix}$$

Materiál	Síla [MN]	ϵ_{max} [10^{-3}]	e [m]	M [MNm]	Posouzení
Beton	-0,038	0,0	-0,037	0,001	Max.přetvoření betonu vyhovuje
Výztuž (1)	-0,001	0,0	0,074	0,000	Max.přetvoření výztuže vyhovuje
Výztuž (2)	0,000	0,0	-0,001	0,000	Max.přetvoření výztuže vyhovuje
Výztuž (3)	0,000	0,0	-0,051	0,000	Max.přetvoření výztuže vyhovuje
Výztuž tl.	-0,001	0,0	-0,076	0,000	Max.přetvoření výztuže vyhovuje

Silová podmínka rovnováhy

$$\text{celkem } 0,000 \text{ MN}$$

Silová podmínka vyhovuje

Moment únosnosti průřezu

$$M_{Rd} = 0,001 \text{ MNm}$$

$$\text{rameno vnitřních sil } z = 0,203 \text{ m}$$

Posouzení - beton

$$0,6 \cdot f_{ck} = 18,000 \text{ MPa}$$

$$>$$

$$\sigma_{cc} = 0,218 \text{ MPa}$$

$$\text{MPa}$$

$$1\%$$

Vyhovuje

Posouzení - ocel

$$0,8 \cdot f_{yk} = 400,000 \text{ MPa}$$

$$>$$

$$\sigma_{s,max} = -0,486 \text{ MPa}$$

$$\text{MPa}$$

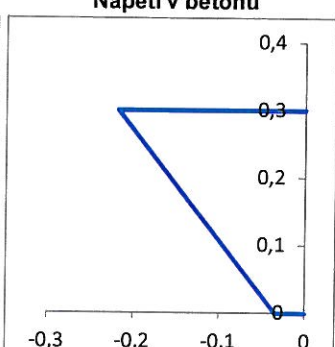
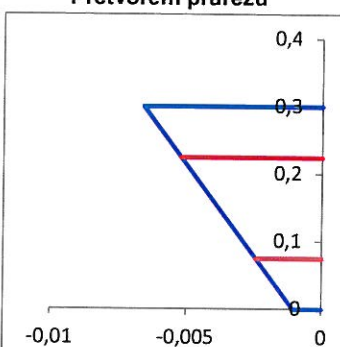
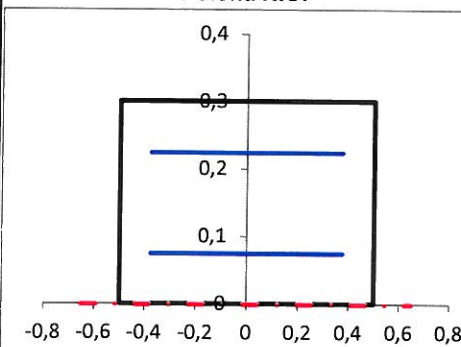
$$0\%$$

Vyhovuje

Poloha N.O.

Přetvoření průřezu

Napětí v betonu



Mezní stav použitelnost - výpočet trhlin

Přetvoření betonu v tlaku

$$\varepsilon_c = -0,003 \quad [10^{-3}]$$

Úprava polohy N.O.

excentricita tlačných vláken

$$e_{z+} = 0,076 \quad \text{m}$$

$$+0,1 \text{ mm} \quad -0,1 \text{ mm}$$

vzdálenost N.O. od spodních vláken

$$e_z = 0,224 \quad \text{m}$$

$$+1,0 \text{ mm} \quad -1,0 \text{ mm}$$

Materiál	Síla [MN]	ε_{\max} [10^{-3}]	e [m]	M [MNm]	Posouzení
Beton	0,028	0,0	0,101	0,003	Max.přetvoření betonu vyhovuje
Výztuž (1)	0,002	0,0	0,074	0,000	Max.přetvoření výztuže vyhovuje
Výztuž (2)	0,000	0,0	-0,001	0,000	Max.přetvoření výztuže vyhovuje
Výztuž (3)	0,000	0,0	-0,051	0,000	Max.přetvoření výztuže vyhovuje
Výztuž tl.	0,000	0,0	-0,076	0,000	Max.přetvoření výztuže vyhovuje

Silová podmínka rovnováhy

$$\text{celkem} \quad 0,0000 \quad \text{MN}$$

Silová podmínka vyhovuje

Moment únosnosti průřezu

$$M_{Rd} = 0,003 \quad \text{MNm}$$

rameno vnitřních sil

$$z = -0,173 \quad \text{m}$$

Posouzení - beton

$$0,45 \cdot f_{ck} = 11,475 \quad \text{MPa}$$

>

$$\sigma_{cc} = 0,096 \quad \text{MPa}$$

1%

lin.dotvar

Napětí v oceli

$$\sigma_{s,\max} = 1,136 \quad \text{MPa}$$

$$h_{\text{eff}} = \min (187,5 ; 75 ; 150) = 75 \quad \text{mm}$$

$$h_{\text{eff}} = \min (2,5(h-d), (h-x)/3, h/2)$$

$$\rho_{p,\text{eff}} = 1885 / 74547,6 = 0,025285$$

$$\rho_{\text{eff}} = A_s / A_{\text{eff}}$$

$$\varepsilon_{sm} - \varepsilon_{cm} = (1,136 - 0,4 \cdot 114,6913 \cdot (1 + 0,15324) / 200,0 = -0,00003$$

$$= -0,00003$$

$$\varepsilon_{sm} - \varepsilon_{cm} = 0,6 \cdot 1,136 / 200,0 = 3,4E-06$$

$$\varepsilon_{sm} - \varepsilon_{cm} = 0,00000 \quad s_{r,\max} = k_s \cdot c + k_1 \cdot k_2 \cdot k_3 \cdot \phi / \rho_{p,\text{eff}}$$

$$s_{r,\max} = 3,4 \cdot 65 + 0,17 \cdot 790,975 = 355 \quad \text{m}$$

$$\sigma_s - k_t \cdot \frac{f_{ct,\text{eff}}}{\rho_{p,\text{eff}}} (1 + \alpha_e \rho_{p,\text{eff}})$$

$$w_k = 355 \cdot 3,4E-06 = 0,000 \quad \text{mm}$$

$$\varepsilon_{sm} - \varepsilon_{cm} = \frac{\sigma_s - k_t \cdot \frac{f_{ct,\text{eff}}}{\rho_{p,\text{eff}}} (1 + \alpha_e \rho_{p,\text{eff}})}{E_s} \geq 0,6 \cdot \frac{\sigma_s}{E_s}$$

Dlouhodobé účinky:

Ano

$$\sigma_{ct} = 0,282 \quad \text{MPa}$$

Trhliny nevznikají

Posouzení

$$w_{k,\max} = 0,300 \quad \text{mm}$$

>

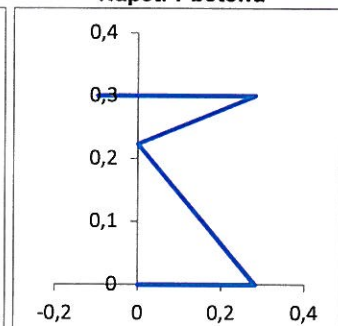
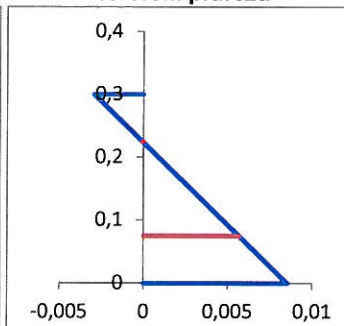
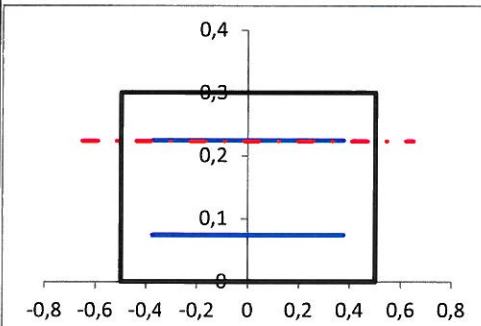
$$w_k = 0,000 \quad \text{mm}$$

Vyhovuje

Poloha N.O.

Přetvoření průřezu

Napětí v betonu



Smyková únosnost průřezu - se smykovou výztuží					
Sklon tlakových diagonál	1	<	$\cot \theta = 1,192$	<	2,5
součinitel redukce únosnosti tlak. diag.	v	=	0,528	-	
$\theta = 40,00^\circ$ Vyhovuje					
Dodatečná tahová síla					
ΔF_{td}	=	1	*	1	*(1,192 - 0,000)
					$\Delta F_{td} = 0,5 V_{Ed} (\cot(\theta) - \cot(\alpha)) = 0,002 \text{ MN}$
Únosnost tlakové diagonály					
$V_{Rd,max}$	=	0,528	*	17,0	* 1000 * 232
					$V_{Rd,max} = \alpha_{cw} b_w z v_1 f_{cd} / (\cot \theta + \tan \theta) = 1,021 \text{ MN}$
Únosnost třmíneků					
$V_{Rd,st}$	=	168	*	434,8	* 0,232 * 1,19175 / 150
					$V_{Rd,st} = A_{sw} z f_{ywd} \cot \theta / s = 0,134 \text{ MN}$
Únosnost ohybů					
$V_{Rd,b}$	=	0	*	434,8	* 0,707 * 0,232 * 2,19175 / 500
					$V_{Rd,b} = A_{sw} z f_{ywd} \cot \theta / s = 0,000 \text{ MN}$
Posouzení	$V_{Rd,c}$	=	0,134	MN	> $V_{Ed} = 0,001 \text{ MN}$
					1% Vyhovuje
Mezní stav použitelnost - omezení napětí					
Přetvoření betonu v tlaku					
excentricita tlačných vláken	ϵ_c	=	-0,405	[.10 ⁻³]	Úprava polohy N.O.
	e_{z+}	=	0,068	m	+0,1 mm -0,1 mm
vzdálenost N.O. od spodních vláken	e_z	=	0,282	m	+1,0 mm -1,0 mm
Materiál	Síla [MN]	ϵ_{max} [.10 ⁻³]	e [m]	M [MNm]	Posouzení
Beton	-0,455	-0,4	0,045	-0,021	Max.přetvoření betonu vyhovuje
Výztuž (1)	0,465	1,2	-0,207	-0,096	Max.přetvoření výztuže vyhovuje
Výztuž (2)	0,000	0,8	-0,132	0,000	Max.přetvoření výztuže vyhovuje
Výztuž (3)	0,000	0,5	-0,082	0,000	Max.přetvoření výztuže vyhovuje
Výztuž tl.	0,010	0,0	-0,007	0,000	Max.přetvoření výztuže vyhovuje
Silová podmínka rovnováhy celkem -0,0033 MN					
Moment únosnosti průřezu	M_{Rd}	=	0,114	MNm	rameno vnitřních sil z = 0,174 m
Posouzení - beton	$0,6 f_{ck}$	=	18,000	MPa	> $\sigma_{cc} = 13,350 \text{ MPa}$ 74% Vyhovuje
Posouzení - ocel	$0,8 f_{yk}$	=	400,000	MPa	> $\sigma_{s,max} = 246,525 \text{ MPa}$ 62% Vyhovuje
Poloha N.O.					
Přetvoření průřezu					
Napětí v betonu					

Mezní stav použitelnost - výpočet trhlin

Přetvoření betonu v tlaku

$$\varepsilon_c = -0,050 \quad [10^{-3}]$$

Úprava polohy N.O.

excentricita tlačných vláken

$$e_{z+} = 0,171 \quad \text{m}$$

+0,1 mm	-0,1 mm
---------	---------

vzdálenost N.O. od spodních vláken

$$e_z = 0,179 \quad \text{m}$$

+1,0 mm	-1,0 mm
---------	---------

Materiál	Síla [MN]	ε_{\max} [10 ⁻³]	e [m]	M [MNm]	Posouzení
Beton	0,014	0,0	2,464	0,034	Max.přetvoření betonu vyhovuje
Výztuž (1)	0,011	0,0	0,099	0,001	Max.přetvoření výztuže vyhovuje
Výztuž (2)	0,000	0,0	0,024	0,000	Max.přetvoření výztuže vyhovuje
Výztuž (3)	0,000	0,0	-0,026	0,000	Max.přetvoření výztuže vyhovuje
Výztuž tl.	-0,007	0,0	-0,101	0,001	Max.přetvoření výztuže vyhovuje

Silová podmínka rovnováhy

celkem 0,0000 MN

Silová podmínka vyhovuje

Moment únosnosti průřezu

$M_{Rd} = 0,036 \quad \text{MNm}$

rameno vnitřních sil

$z = -2,417 \quad \text{m}$

Posouzení - beton

$0,45 \cdot f_{ck} = 11,475 \quad \text{MPa}$

$\sigma_{cc} = 1,649 \quad \text{MPa}$

14% lin.dotvar

Napětí v oceli

$\sigma_{s,\max} = 6,090 \quad \text{MPa}$

$h_{eff} = \min(187,5; 60; 175) = 60 \quad \text{mm}$

$h_{eff} = \min(2,5(h-d), (h-x)/3, h/2)$

$\rho_{p,eff} = 1885 / 59713,5 = 0,03157$

$\rho_{eff} = A_s / A_{eff}$

$\varepsilon_{sm} - \varepsilon_{cm} = (6,090 - 0,4 \cdot 91,8691 \cdot (1 + 0,19131)) / 200,0 = -0,00002$

$\varepsilon_{sm} - \varepsilon_{cm} = 0,00002$ $s_{r,\max} = k_1 c + k_2 k_4 \phi / \rho_{p,eff}$

$\varepsilon_{sm} - \varepsilon_{cm} = 0,6 \cdot 6,090 / 200,0 = 1,8E-05$

$\varepsilon_{sm} - \varepsilon_{cm} = 0,00002$

$s_{r,\max} = 3,4 \cdot 65 + 0,17 \cdot 633,58 = 329 \quad \text{mm}$

$\sigma_s - k_t \frac{f_{ct,eff}}{\rho_{p,eff}} (1 + \alpha_e \rho_{p,eff})$

$w_k = 329 \cdot 1,8E-05 = 0,000 \quad \text{mm}$

$\varepsilon_{sm} - \varepsilon_{cm} = \frac{\sigma_s - k_t \frac{f_{ct,eff}}{\rho_{p,eff}} (1 + \alpha_e \rho_{p,eff})}{E_s} \geq 0,6 \frac{\sigma_s}{E_s}$

Dlouhodobé účinky:

Ano

$\sigma_{ct} = 1,729 \quad \text{MPa}$

Trhliny nevznikají

Posouzení

$w_{k,\max} = 0,300 \quad \text{mm}$

>

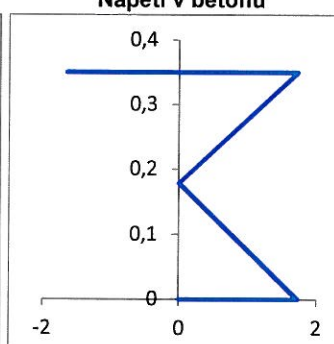
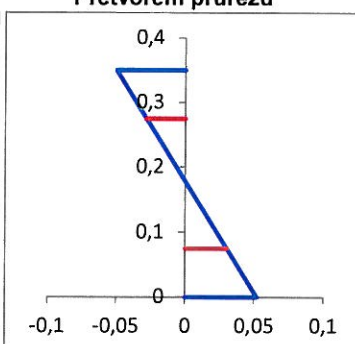
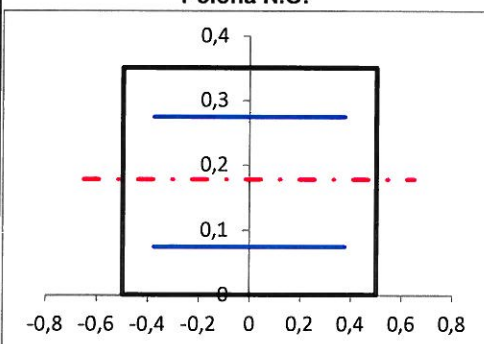
$w_k = 0,000 \quad \text{mm}$

Vyhovuje

Poloha N.O.

Přetvoření průřezu

Napětí v betonu



3. ZÁVĚR

Statický výpočet slouží jako podklad pro návrh nové mostovky stávajícího mostu.

Podle přiloženého schématu se musí vypracovat výkres výztuže. Úložný práh je vzhledem k plošnému namáhání řešen pouze konstrukční výztuží.

Posouzení založení stávajícího mostu není zahrnuto v tomto posudku. Předpokládá se využití stávající spodní stavby mostu.

Hodnoty zatížitelnosti mostu navrženého pro zatížení dle platných ČSN EN (Eurocodů) jsou následující:

Normální zatížitelnost V_n nejméně 32 t.

Výhradní zatížitelnost V_r nejméně 80 t.

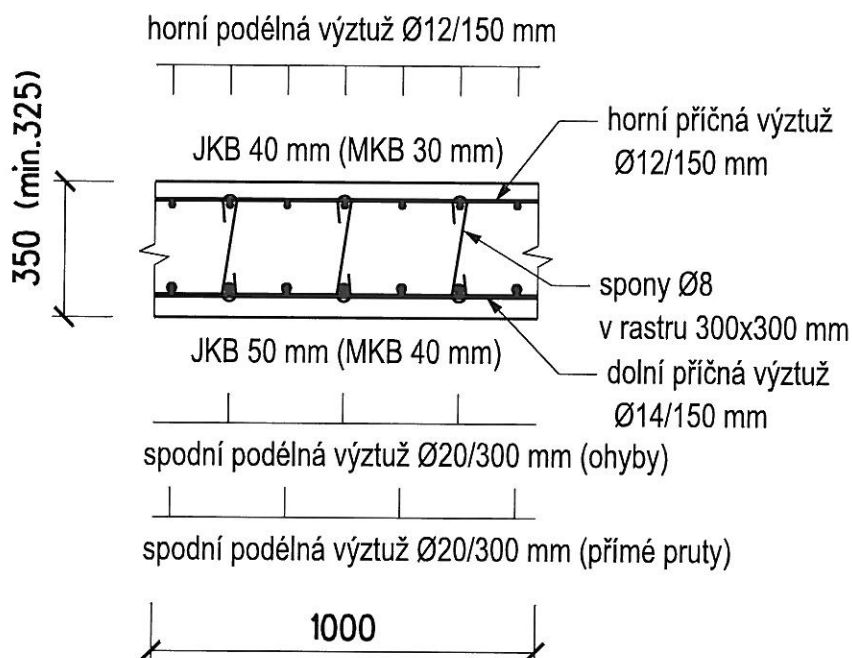
Výjimečná zatížitelnost V_e nejméně 196 t.

4. SCHÉMATA VÝZTUŽE

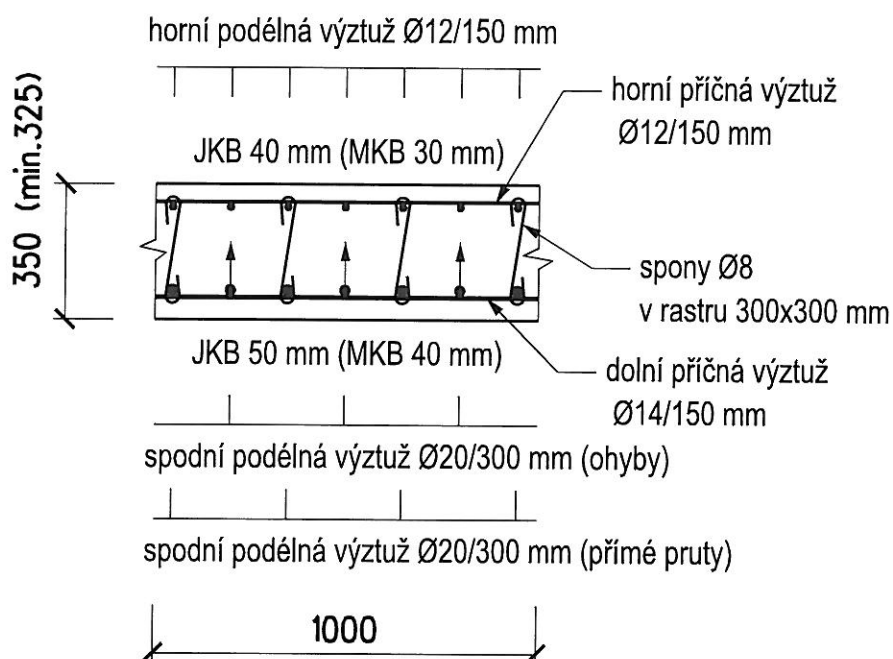

Ing. Pavel HRŮZA
BETON-DIAGNOSTIK
Věkošská 411/22b
503 41 HRADEC KRÁLOVÉ
IČO: 135 64 650

SCHEMA VÝZTUŽE NOSNÉ KONSTRUKCE

PŘÍČNÝ ŘEZ v poli (výřez 1 bm desky)



PŘÍČNÝ ŘEZ nad podporou (výřez 1 bm desky)



PODÉLNÝ ŘEZ

